

УДК 534.2

© 1990

ВЛИЯНИЕ ВНЕШНЕГО ОДНОРОДНОГО
ЭЛЕКТРИЧЕСКОГО ПОЛЯ
НА СВОЙСТВА ВОЛН РЭЛЕЯ
В ПЬЕЗОЭЛЕКТРИЧЕСКИХ КРИСТАЛЛАХ

К. С. Александров, С. И. Бурков, Б. П. Сорокин

Получены основные уравнения и граничные условия, описывающие распространение ПАВ в пьезокристаллах, подвергнутых воздействию однородного внешнего электрического поля. Исследовано влияние внешнего электрического поля на свойства волн Рэлея в пьезокристаллах класса симметрии 23. Выполнен расчет анизотропии характеристик ПАВ в кристаллах $\text{Bi}_{12}\text{SiO}_{20}$ и LiNbO_3 при различных варпантах приложения внешнего электрического поля.

В последние годы возрос интерес к влиянию внешнего электрического поля на свойства поверхностных акустических волн (ПАВ), в частности на свойства поверхностных волн Лэмба и Лява в центросимметричных [1] и пьезоэлектрических кристаллах [2]. Опубликован ряд экспериментальных работ по исследованию влияния внешнего электрического поля E на скорость распространения ПАВ в кристалле ниобата лития [3-5], где, в частности, найдена линейная зависимость изменения фазовой скорости ПАВ от величины E [4, 5].

В настоящей работе получены основные уравнения, описывающие распространение ПАВ в однородно деформированных ацентрических средах, рассмотрено влияние E на свойства волн Рэлея в кристаллах с точечной группой симметрии 23. Выполнен численный анализ полевой зависимости анизотропии распространения ПАВ в кристаллах $\text{Bi}_{12}\text{SiO}_{20}$ и LiNbO_3 .

Теория распространения объемных акустических волн в пьезокристаллах, подвергнутых воздействию внешнего электрического поля и механического напряжения, суммирована в [6]. Пользуясь этими результатами, получим необходимые уравнения, описывающие влияние E на характеристики ПАВ. Волновые уравнения для волн малой амплитуды в однородно-деформированных ацентрических средах имеют вид [6]

$$\rho_0^{\frac{1}{2}} \ddot{u}_A = \tilde{\tau}_{AB, B}, \quad \tilde{D}_{N, N} = 0 \quad (1)$$

в исходной системе координат. В случае механически свободного образца уравнения состояния для динамических компонент термодинамических напряжений и электрической индукции имеют вид, соответственно

$$\tilde{\tau}_{AB} = C_{ABCD}^* \tilde{\eta}_{CD} - \epsilon_{NAB}^* \tilde{E}_N, \quad \tilde{D}_N = \epsilon_{NCD}^* \tilde{\eta}_{CD} + \epsilon_{NM}^* \tilde{E}_M, \quad (2)$$

где эффективные упругие, пьезоэлектрические и диэлектрические постоянные определяются соотношениями

$$\begin{aligned} C_{ABCD}^* &= C_{ABCD}^E + (C_{ABCDQR}^E d_{SQR} - \epsilon_{SABCD}) \tilde{E}_M S, \\ \epsilon_{NAB}^* &= \epsilon_{NAB} + (\epsilon_{NPQAB}^* d_{SQP} - H_{SNAB}) \tilde{E}_M S, \\ \epsilon_{NM}^* &= \epsilon_{NM}^I + (\epsilon_{MNP}^I + H_{MNRQ}^I d_{PRQ}) \tilde{E}_P, \end{aligned} \quad (3)$$

где C_{ABCD}^E , ϵ_{NABCD} , ϵ_{NMP}^η , H_{SNAB} — нелинейные упругие, пьезоэлектрические, диэлектрические и электрострикционные материальные тензоры; M , N — единичные векторы внешнего электрического поля и волновой нормали, \bar{E} — модуль вектора внешнего электрического поля. Для рассмотрения задачи о распространении ПАВ выберем ортогональную систему координат, в которой ось X'_3 направлена вдоль нормали к свободной поверхности кристалла, занимающего полупространство $X'_3 \leq 0$, а ось X'_1 совпадает с направлением распространения ПАВ. Решения волнового уравнения будем искать в виде волн с «прямолинейным фронтом», амплитуда которых с глубиной от поверхности $X'_3=0$ убывает

$$\begin{pmatrix} \bar{u}_A \\ \bar{\Phi} \end{pmatrix} = \begin{pmatrix} \alpha_A \\ \alpha_4 \end{pmatrix} \exp [ik(N_1X'_1 + N_3X'_3 - vt)]. \quad (4)$$

Подставляя выражение (4) в уравнение (1) и оставляя только члены, линейные по \bar{E} , получим систему четырех однородных уравнений

$$(\Gamma_{AB} - \delta_{AB}^0 v^2) \alpha_B = 0 \quad (A, B = 1, \dots, 4; \quad \delta_{44}^0 = 0), \quad (5)$$

где модифицированный тензор Кристоффеля Γ_{AB} имеет вид

$$\begin{aligned} \Gamma_{AB} &= (C_{ACBD}^* + 2C_{ACFD}^E d_{JFB} M_J \bar{E}) N_C N_D, \\ \Gamma_{B4} &= \epsilon_{NAB}^* N_N N_A, \\ \Gamma_{4B} &= \Gamma_{B4} + 2\epsilon_{PQL} d_{SJB} N_P N_L M_B \bar{E}, \\ \Gamma_{44} &= -\epsilon_{NM}^* N_N N_M. \end{aligned} \quad (6)$$

Определитель системы (5), как и в «линейном» случае, представляет собой полином восьмой степени относительно N_3 с параметром v . Решения данного полинома, соответствующие поверхности упругой волне, должны иметь отрицательную мнимую часть, которая определяет затухание волны в глубь кристалла. Динамические компоненты упругих смещений и волны потенциала в пьезокристалле описываются линейной комбинацией четырех членов в виде

$$\begin{aligned} \bar{u}_A &= \sum_{n=1}^4 B_n \alpha_A^{(n)} \exp [ik(N_1X'_1 + N_3^{(n)}X'_3 - vt)], \\ \bar{\Phi} &= \sum_{n=1}^4 B_n \alpha_4^{(n)} \exp [ik(N_1X'_1 + N_3^{(n)}X'_3 - vt)]. \end{aligned} \quad (7)$$

Коэффициенты B_n необходимо выбрать таким образом, чтобы полученные решения удовлетворяли граничным условиям.

Границным условием для механических величин является отсутствие напряжений на поверхности кристалла, т. е. $\tilde{\sigma}_{3j}=0$ при $X'_3=0$. Для электрических величин граничным условием является непрерывность нормальной компоненты электрической индукции на границе раздела кристалл—вакуум. Подставляя искомое решение (7) в (2) и в уравнение Лапласа $\Delta\Phi=0$ при $X'_3=0$ и оставляя только члены, линейные по \bar{E} , получим систему четырех однородных уравнений относительно B_n . Определитель такой системы есть

$$\begin{aligned} G_{In} &= (C_{IJKL}^* + 2d_{AKP} C_{3ILF}^E M_A \bar{E}) N_L^{(n)} \alpha_K^{(n)} + \epsilon_{PL}^* N_P^{(n)}, \\ G_{4n} &= (\epsilon_{3KL}^* + 2d_{JKP} \epsilon_{PL} M_J \bar{E}) N_L^{(n)} \alpha_K^{(n)} - (\epsilon_{3K}^* N_K^{(n)} - i\epsilon_0) \alpha_4^{(n)}, \end{aligned} \quad (8)$$

где $A, I, K, L, F, P, J = 1, 2, 3; n=1, \dots, 4; N_1^{(n)} \equiv 1, N_2^{(n)} \equiv 0$.

Равенство нулю определителя G_{In} при заданном значении параметра v определяет параметры поверхности акустической волны в условиях приложения \bar{E} . Покрытие поверхности кристалла идеально проводящим слоем вещества, достаточно тонким, чтобы механические граничные усло-

вия не изменились, приводят к тому, что потенциал при $X_3' = 0$ должен обращаться в 0, в результате чего четвертая строка матрицы G_{In} , как и в «линейном» случае, примет вид

$$G_{4n} = a_4^{(n)}. \quad (9)$$

Отметим, что приведенные выражения для граничных условий получены из предположения о приложении к кристаллу однородного внешнего электрического поля без учета краевых эффектов. Это условие реализуется на практике для металлизированной свободной поверхности, когда к кристаллу приложено $E \parallel X_3'$. Кроме того, в полученных уравнениях учитываются все изменения в конфигурации анизотропной сплошной среды, связанные с ее статической деформацией, и в частности, изменения формы кристалла — растяжение и поворот элементарных линий, параллельных ребрам образца [8].

Рассмотрим кубический пьезоэлектрик класса 23 с поверхностью среза (001) в направлении распространения ПАВ вдоль [100]. Дисперсионное уравнение для поверхностной волны (при $\bar{E}=0$) запишется в виде [7]

$$(C_{11}^E + C_{44}^E N_3^2 - \rho_0 v^2) (C_{44}^E (1 + N_3^2) - \rho_0 v^2) - (C_{13}^E + C_{44}^E)^2 N_3^2 = 0, \quad (10)$$

т. е. в данном случае в направлении [100] в плоскости (001) распространяется истинная двухпарциальная волна Рэлея. Кроме того, в этом же направлении существует также особая объемная волна. Приложение к кристаллу внешнего электрического поля вдоль X_1 ([100]), согласно принципу Кюри, понижает симметрию кристалла до моноклинной класса 2, где ось 2 \parallel [100]. При этом индуцируются новые материальные постоянные

$$\begin{aligned} \tilde{C}_{15} &= (C_{156} d_{14} - e_{124}) \bar{E}, \quad \tilde{C}_{45} = (C_{456} d_{14} - e_{156}) \bar{E}, \\ \tilde{C}_{35} &= (C_{144} d_{14} - e_{114}) \bar{E}, \quad \tilde{e}_{15} = (e_{114} d_{14} + H_{11}) \bar{E}, \\ \tilde{e}_{35} &= (e_{156} d_{14} + H_{44}) \bar{E}. \end{aligned} \quad (11)$$

Таким образом, выражение (10), являющееся бикубическим уравнением относительно N_3 , становится полиномом восьмой степени, т. е. волна Рэлея из двухпарциальной трансформируется в пьезоактивную четырехпарциальную поверхностную волну. Следует отметить, что, хотя характеристическое уравнение — полином восьмой степени, коэффициенты этого полинома отличны от 0 только при четных степенях N_3 , поэтому волна Рэлея остается истинной поверхностной волной, т. е. значения коэффициентов затухания ПАФ в глубь кристалла чисто мнимые.

Как показали расчеты на ЭВМ для кристалла $\text{Bi}_{12}\text{GeO}_{20}$, в данном случае коэффициент управляемости скоростью ПАВ

$$\alpha_v = \frac{\Delta v}{v(0) \Delta \bar{E}} \Big|_{\Delta \bar{E} \rightarrow 0} \quad (12)$$

равен $2.307 \cdot 10^{-11}$ м/В, для металлизированной поверхности кристалла $\alpha_v = 3.21 \cdot 10^{-11}$ м/В. Коэффициент электромеханической связи $K^2(\bar{E}) = 0.06 \cdot 10^{-2}$ при $\bar{E} = 10^8$ В/см.

В линейном случае, т. е. при $\bar{E} = 0$, предельной волной является вырожденная сдвиговая объемная волна, удовлетворяющая условию свободной поверхности кристалла. Приложение внешнего электрического поля $M \parallel [001]$, как уже рассматривалось нами ранее [8], вызывает снятие вырождения сдвиговых объемных волн. В этом случае предельной волной будет медленная сдвиговая объемная волна

$$\rho_0 v^2 = C_{44}^E - (C_{44}^E d_{14} \bar{E} + \tilde{C}_{45}) \quad (13)$$

с вектором поляризации $u \parallel (0, \sqrt{2}/2, -\sqrt{2}/2)$. Естественно, что такая предельная волна не удовлетворяет условию свободной поверхности.

Отметим, что аналогичная ситуация возникает и при приложении \vec{E} вдоль оси X_3 ($M \parallel [001]$). Но в этом случае влияние \vec{E} значительно меньше, чем при $M \parallel N$, $\alpha_s \sim 10^{-13}$ м/В.

Приложение внешнего электрического поля к кристаллу вдоль X_2 ($M \parallel [010]$) также понижает симметрию кристалла до моноклинной, но с направлением главной оси кристалла вдоль [010] и индуцированием новых материальных постоянных

$$\begin{aligned}\tilde{C}_{15} &= (C_{155}d_{14} - e_{134})\vec{E}, \quad \tilde{C}_{35} = (C_{166}d_{14} - e_{124})\vec{E}, \\ \tilde{e}_{16} &= (e_{156}d_{14} + H_{44})\vec{E}, \quad \tilde{C}_{46} = (C_{456}d_{14} - e_{156})\vec{E}, \\ \tilde{e}_{13} &= (H_{44}d_{14} + e_{123}^7)\vec{E}.\end{aligned}\quad (14)$$

Характеристическое уравнение для волн Рэлея в этом случае будет иметь вид

$$\begin{aligned}p^4[C_{11}^E C_{44}^E - (a_{31} + a_{21})^2] + p^3[b_{33} C_{44}^E \vec{E} + C_{11}^E b_{11} \vec{E} - (C_{13}^E + C_{44}^E)(a_{31} + a_{21})] + \\ + p^2[C_{11}^E(C_{11}^E - \lambda) + C_{44}^E(C_{44}^E - \lambda) - b_{33}\vec{E}b_{11}\vec{E} - a_{21}a_{20} + a_{31}a_{20} + (C_{13}^E + C_{44}^E)^2] + \\ + p[b_{11}\vec{E}(C_{11}^E - \lambda) + b_{33}\vec{E}(C_{44}^E - \lambda) - (C_{13}^E + C_{44}^E)(a_{20} + a_{30})] + \\ + [(C_{11}^E - \lambda)(C_{44}^E - \lambda) - a_{30}a_{20}] = 0,\end{aligned}\quad (15)$$

где $p \equiv N_3$, $\lambda = p_0 v^2$,

$$\begin{aligned}b_{11} &= (C_{11} + C_{44})d_{14} + 2\tilde{C}_{15}, \quad b_{33} = (C_{12} + C_{44})d_{14} + 2\tilde{C}_{35}, \quad a_{20} = (C_{11}d_{14}\vec{E} + \tilde{C}_{15}), \\ a_{21} &= (C_{44}d_{14}\vec{E} + \tilde{C}_{35}), \quad a_{30} = (C_{44}d_{14}\vec{E} + C_{15}), \quad a_{31} = (C_{11}d_{14}\vec{E} + \tilde{C}_{35}).\end{aligned}$$

При $\vec{E}=0$ уравнение (15) тождественно (10). Решения уравнения (15) будут уже комплексными, т. е. истинная двухпарциальная волна Рэлея становится обобщенной волной. Изменение фазовой скорости в данном случае для кристалла $\text{Bi}_{12}\text{GeO}_{20}$ $\alpha_s = 6.18 \cdot 10^{-12}$ м/В для свободной поверхности. Индуцирование пьезоконстанты \tilde{e}_{16} делает возможным и существование волны Блюстейна—Гуляева, что было рассмотрено нами в [9].

Важной характеристикой любого волнового процесса является поток энергии волны. При распространении акустической волны в пьезокристалле, находящемся под воздействием внешнего электрического поля, средний во времени поток энергии через единицу площади в квазистатическом приближении определяется выражением [10]

$$P_A = -\frac{1}{2} \operatorname{Re} [i\omega (\tilde{\tau}_{AK} \tilde{u}_B^* \tilde{C}_{BK} - \Phi \tilde{D}_A^*)], \quad (16)$$

где $\tilde{G}_{BK} = \delta_{BK} + 2d_{J BK} M_J \vec{E}$ — тензор статической деформации Грина. Для практического применения обычно представляет интерес не поток энергии через единицу площади, а полный поток энергии, протекающий через полоску единичной ширины и бесконечной длины, ориентированной в направлении, перпендикулярном сагиттальной плоскости

$$W_A = -\frac{1}{2} \operatorname{Re} \left\{ \int_{-\infty}^{\infty} i\omega [\tilde{\tau}_{AK} \tilde{u}_I^* \tilde{C}_{IK} - \Phi \tilde{D}_A^*] dX_s \right\}. \quad (17)$$

Здесь и далее звездочка обозначает комплексно сопряженное число. Отношение W_2/W_1 характеризует направление потока энергии поверхностью волны. Подставляя в (17) уравнения (2), (3) и (7), произведя интегрирование и оставляя только члены, линейные по \vec{E} , получим

$$W_I = -\frac{1}{2} \operatorname{Re} \left\{ \sum_{n=1}^4 \sum_{m=1}^4 [((C_{IJKL}^1 + 2C_{IJFL}^E d_{PKF} M_P \vec{E}) N_L^{(n)} a_K^{(n)} B_n + \right.$$

$$+ e_{LII}^1 N_L^{(n)} B_n \alpha_4^{(n)} \right) \alpha_J^{(m)*} B_m^* + B_m \alpha_4^{(m)} \left((e_{IJI}^1 + 2e_{IFI} d_{KIF} M_K E) N_L^{(n)*} \alpha_J^{(n)*} B_n^* + e_{IL}^1 \alpha_4^{(n)*} B_n N_L^{(n)*} \right] \omega / [i (N_3^{(n)} - N_3^{(m)*})]. \quad (18)$$

Обозначения C^1 , e^1 , ε^1 идентичны обозначениям в выражении (3).

На основании уравнений (6), (8), (18) был выполнен расчет анизотропии характеристик ПАВ (коэффициенты управления α_s , фазовые скорости v_s , коэффициенты электромеханической связи K^2 , углы отклонения потока энергии) в кристаллах $\text{Bi}_{12}\text{SiO}_{20}$ и LiNbO_3 при различных вариантах приложения E . Использованы данные работ [6, 11], в которых приводятся все независимые линейные и нелинейные упругие, пьезоэлектрические, диэлектрические и электрострикционные материальные постоянные этих кристаллов.

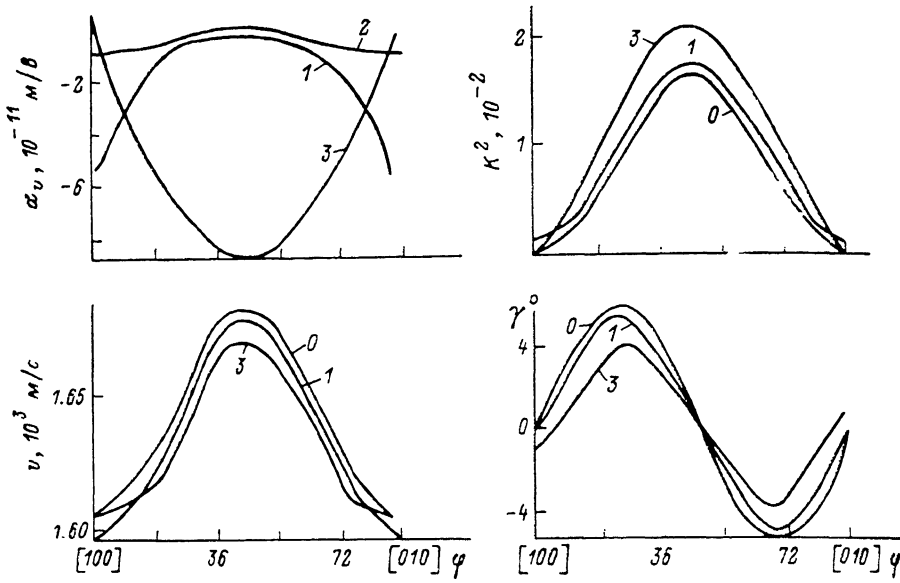


Рис. 1. Акустические характеристики ПАВ кристалла $\text{Bi}_{12}\text{SiO}_{20}$ в (001).

α_s — коэффициент управляемости, v — фазовая скорость ПАВ, K^2 — КЭМС, γ^0 — углы отклонения потока энергии; $0 - E = 0$, $1 - M \parallel X_1$, $2 - M \parallel X_2$, $3 - M \parallel X_3$, $E = 10^8 \text{ В/м}$.

Некоторые примеры подобных расчетов приводятся на рис. 1 и 2 для плоскостей (001) кристаллов $\text{Bi}_{12}\text{SiO}_{20}$ и LiNbO_3 . Более подробный анализ содержится в нашей работе [9].

Для волн Рэлея, распространяющихся в плоскости (001) кристалла $\text{Bi}_{12}\text{SiO}_{20}$, приложение E вдоль волновой нормали $M \parallel N$ вызовет наибольшие изменения скоростей для направлений [100] и [010]. Небольшая асимметрия этой кривой отражает тот факт, что для этого случая данные направления, неразличимые при $E=0$, становятся неравноправными вследствие различия по величине в нелинейных материальных постоянных. Так, в направлении [010] индуцируется эффективная упругая постоянная $C_{16} = (C_{155}d_{14} - e_{134})E$, отличная от соответствующей величины в (11).

При приложении E вдоль X_3 ($M \parallel [001]$) достигается максимальное изменение скорости ($\alpha_s = -9.03 \cdot 10^{-11} \text{ м/В}$). Напротив, наименьшее влияние на изменение характеристик ПАВ окажет приложение E вдоль X_2 .

Рассмотрим Z-срез ниобата лития (точечная группа симметрии $3m$). Приложение $E \parallel X'_1$, т. е. вдоль направления распространения ПАВ, согласно принципу Кюри, понижает симметрию кристалла до триклинной класса 1, вследствие чего в направлениях [1010] и [0110], равноправных в «линейном» случае, изменения фазовой скорости существенно различны: $\alpha_s = -2.58 \cdot 10^{-10} \text{ м/В}$ и $\alpha_s = 7.61 \cdot 10^{-11} \text{ м/В}$ соответственно. Определенный

практический интерес представляет изменение угла отклонения потока энергии от сагиттальной плоскости в направлении [1010]: $\gamma(0)=5.5^\circ$, $\gamma(\vec{E})=-5.0^\circ$ при $E=10^8$ В/м.

Приложение \vec{E} вдоль X_3 ($M \parallel [001]$), т. е. вдоль оси симметрии третьего порядка кристалла не изменяет исходную симметрию. Максимальное значение $a_v = -6.87 \cdot 10^{-11}$ м/В достигается в направлении [1010] (рис. 2).

В работах [4, 5] было экспериментально исследовано влияние \vec{E} на фазовую скорость ПАВ в $38^\circ X$ -срезе и $16.5^\circ DR$ -срезе кристалла LiNbO_3 , в которых была показана линейная зависимость изменения фазовой скорости от величины \vec{E} . Экспериментальные значения a_v в данных срезах: $1.41 \cdot 10^{-10}$ м/В и $1.36 \cdot 10^{-10}$ м/В соответственно. Наши расчеты для этих срезов дали результаты: $a_v = 1.575 \cdot 10^{-10}$ м/В и $a_v = 1.52 \cdot 10^{-10}$ м/В соответ-

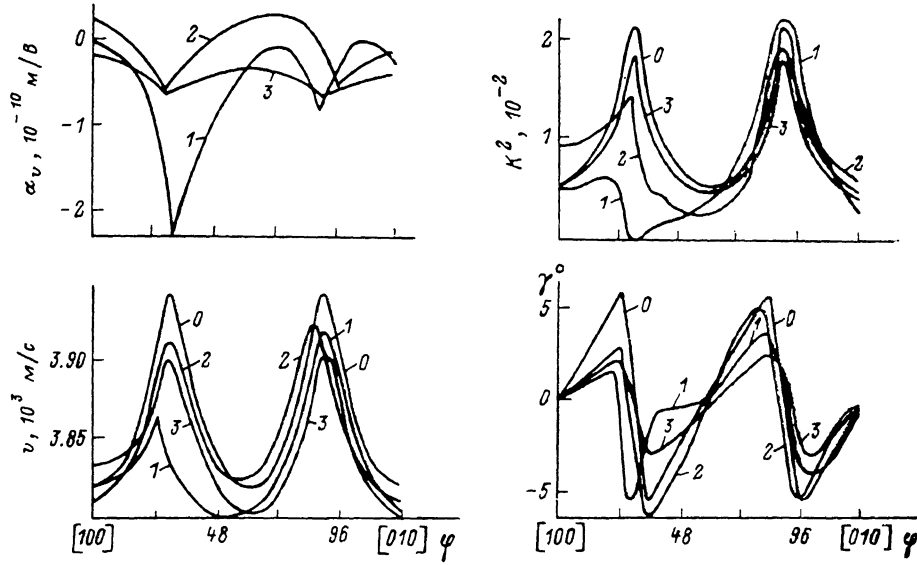


Рис. 2. Акустические характеристики ПАВ кристалла LiNbO_3 в (001) (Z-срез) при $E=10^8$ В/м (обозначения см. для рис. 1).

ственno, что можно считать весьма хорошим совпадением. Следует отметить, что максимальное значение коэффициента a_v , как показали расчеты, достигает в $61^\circ X$ -срезе и равен $\sim 2.5 \cdot 10^{-10}$ м/В [9].

Сравнивая величины коэффициентов управления скоростью ПАВ в двух исследованных кристаллах, следует отметить более высокие значения для LiNbO_3 , что коррелирует и с лучшими характеристиками управления скоростью объемных волн в ниобате лития.

Таким образом, получены основные уравнения и граничные условия, описывающие распространение поверхностных акустических волн в пьезоэлектрических кристаллах, подвергнутых воздействию внешнего электрического поля, в предположении линейной зависимости изменения фазовой скорости ПАВ от величины \vec{E} и для однородного электрического поля. Исследовано влияние внешнего электрического поля на свойства волн Рэлея и предельную скорость ПАВ в кристаллах класса симметрии 23. В зависимости от варианта приложения \vec{E} изменяется эффективная симметрия кристалла, и волна Рэлея трансформируется либо в четырехпарциальную поверхность волну, либо в обобщенную волну.

На примере кристаллов $\text{Bi}_{12}\text{SiO}_{20}$ и LiNbO_3 выполнен расчет на ЭВМ анизотропии характеристик ПАВ: коэффициентов управляемости фазовых скоростей, коэффициентов электромеханической связи и углов отклонения потока энергии от сагиттальной плоскости. Для совпадающих расчетной и экспериментальной ситуаций получено хорошее соответствие результатов.

Полученные уравнения и формулы являются достаточно общими, и развитый в данной работе метод численного анализа на ЭВМ можно распространить — при известных нелинейных постоянных — на более низкосимметричные кристаллы.

Список литературы

- [1] Белый В. Н., Севрук Б. Б. // ДАН БССР. 1984. Т. 28. № 4. С. 332—335.
- [2] Кессених Г. Г., Шувалов Л. А. // ФТТ. 1982. Т. 24. № 10. С. 2385—2391.
- [3] Гуляев Ю. В., Каринский Г. С., Модников В. В. // Письма в ЖФ. 1975. Т. 1. № 17. С. 731—734.
- [4] Джоши С. Р. // ТИИЭР. 1982. Т. 70. № 1. С. 112—113.
- [5] Budreau A. J., Scalzi G. I., Carr P. H., Bersoni H. L. // IEEE Trans. Son. Ultra-s. 1984. V. 31. N 6. P. 646—651.
- [6] Зайцева М. П., Кокорин Ю. И., Сандлер Ю. М., Зражевский В. М., Сорокин Б. П. Нелинейные электромеханические свойства ацентричных кристаллов. Новосибирск: Наука. 1986. 177 с.
- [7] Альшиц В. И., Любимов В. Н. // Кристаллография. 1985. Т. 30. № 3. С. 437—444.
- [8] Сорокин Б. П., Кокорин Ю. И., Бурков С. И., Александров К. С. // Кристаллография. 1986. Т. 31. № 4. С. 706—709.
- [9] Александров К. С., Бурков С. И., Сорокин Б. П. // Препринт ИФ СО АН СССР № 525 Ф. Красноярск, 1988. 45 с.
- [10] Бурков С. И., Сорокин Б. П., Кокорин Ю. И., Александров К. С. // Препринт ИФ СО АН СССР. № 438 Ф. Красноярск, 1987. 44 с.
- [11] Cho Y., Yamanouchi K. // J. Appl. Phys. 1987. V. 61. N 3. P. 875—887.

Красноярский государственный университет
Красноярск

Поступило в Редакцию
7 августа 1989 г.